

TN II

远红外技术交流

甘肃省科学技术交流站 翻印

1980.3

国内远红外加热 干燥技术应用实例

远红外在注塑机上的应用

上海塑料制品九厂

我们厂生产各种塑料制品，全厂共有各种注塑机51台。过去注塑机的电加热器都采用电热圈加热，耗电量大，总装机功率达三百多千瓦，同时一到夏天注塑车间气温就上升到39~40℃以上。

在市远红外技术推广组的启发下，在市电办、局、公司领导下，以及在本市和外省市各有关部门和兄弟单位协助下，党支部带领车间工人师傅等，于今年上半年开始，对注塑机应用远红外加热技术进行了探索和试验工作，经过一个多月的战斗，终于在七八年五月份第一台注塑机改革应用远红外加热成功，取得节电效果，以后又逐步推广应用，至八月份，已改竅完成了十台注塑机，并计划于年内51台各种注塑机全部改竅完毕。

下面汇报一下，远红外在注塑机上的应用情况，加热原理和效果。

一、节电效果

用远红外加热代替原来的电热圈，一般可达30%以上，现从400克注塑机为例，对比效果如表4-1。

表 4-1

加热方式	24小时内 用电量	平均度/时	节约比	冷车升温时间
电热圈	53.2 度	2.28 度		
远红外	38 度	1.58 度	30%	缩短三分之一

以上对比条件是同机、同功率7.2kw，^{同产品}同原料、同温度恒温控制。

同以60克注塑机对比效果如表4—2

表——2

加热方式	装模功率	6小时内 用电量	平均度/时	节电比	备注
电热圈	2.58kw	6.49度	1.08度	/	每件方400克一样
远红外	2.8kw	4.38度	0.73度	33%	

如果5台全卫故同远红外加热，开机率以40%计标，节电以平均30%计标每月可节电9000度。

二、设备情况对比

表——3

加热方式	造价	加工安装	维修	机壳反 车间温度	材料来源	温度分布
电热圈	高	复杂	较高	高	部分要进口	有梯度
远红外	低	方便	容易	低	国内	较均匀

三、加热原理和安装结构

(一) 采用间接加热方法，见图4—1所示，这是考虑到注塑机的料筒是中炭钢，缺乏红外线的透过率，红外线不能透过料筒而直接照射塑料体。而同时，料筒体的外部状况(有深黑色氧化表层)对于远红外都有很好的吸收作用，也有一定的渗透能力。利用料筒体的这一外卫条件对远红外有较高的吸收系数这一特点，对料筒进行外部红外辐射加热，料筒就大量吸收来自辐射体的远红外能量而发热升温，再由料筒产生辐射热(即红外线)和传导热交换，加热料筒体内塑料。这时，虽然不是远红外线与塑料分

予直接共振吸收，但是仍旧能够间接而充分有效地利用远红外线的能量。

(二) 辐射体用导热系数和辐射系数都较高的碳化硅烧结预制块作基体，拼装成圆筒体、紧贴地安装于注塑机的料筒体外圈，基体向芯百加涂以 Cr_2O_3 涂料，基体中间圆孔内装电热线。这样的结构辐射升温快，通电后，辐射源转向破裂辐射的起始时间短，同时，辐射与吸收的远红外能量，基本上不受辐射热交换双方距离的负二次方关系而损失。

(三) 远红外辐射涂料是根据吸收体——料筒的吸收特性而选用 Cr_2O_3 ， Cr_2O_3 的全辐射率高，料筒中炭钢氧化表层所能吸收的红外线，对波长的选择性较少，主要是红外全辐射能量较高，因而，辐射与吸收二者的红外特性基本上是匹配的。

在对涂料的筛选中，我们同时对无锡 3# 配方 (Fe_2O_3 75%， Cr_2O_3 20%， Ni_2O_3 5%)，进行过试验，3# 配方所辐射的红外线，在波长较短处的能量较多，与大多数塑料分子的振动波谱有较多的重迭，配匹较好，共振吸收的效果显著，一般都认为是理想的涂料，但是经我们的试用，节电效果仅在 15%，而 Cr_2O_3 涂料在 30% 以上。

从以上对比试用说明，注塑机中加热由碳化硅对料筒的传热过程主要是红外辐射，虽然，碳化硅板是沿着料筒体外圈紧贴地安装的，但毕竟是点接触式的极有限接触，因此传导热的比例是极少的，这也就是用导热系数基本相同而辐射特性有差异的两种涂料，结果传热效果就不一样。同时，主要辐射热交换的双方是碳化硅基体上的辐射涂层与料筒体外壁，涂料的辐射特性必须与料筒外表层的吸收特性相匹配。

(四) 根据红外辐射特性，在辐射基本外百加玻璃热软石棉，以增加热阻，再外回百加玻璃光亮 $1m/m$ 薄铝板反射罩，把辐射基

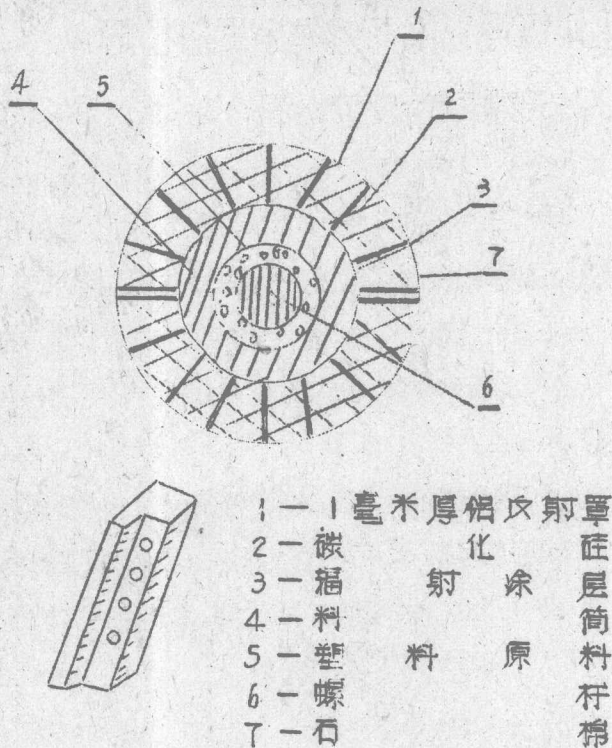


图 1 远红外加热器示意图

体和料筒升温后向外辐射热，仍旧反射在辐射基体和料筒，给辐射体和料筒继续和反复吸收红外线，使红外辐射能得到最充分的利用，这样，热能就按照人们的意志有效地交换，达到远红外加热节约电力的目的。

最后，由于我们对远红外的认识还很肤浅，更缺乏系统的研究，必定存在着很多缺点和错误，希望各有关部门和弟兄单位提出宝贵意见，为远红外新技术为四化现代化服务，作出更多贡献。

远红外烘烤定子绕组绝缘漆的应用

天津市长征电器厂

天津市长征电器厂系生产小型电动机、炉灶鼓风机和仪用轴流风机。在定子绕组的绝缘处理过程中，原采用电阻炉、外热测吹暖风式烘干。电炉丝容量50千瓦，炉膛容积6.5米³。原工艺对浸渍绕组预烘4小时，烘后烘烤18小时，全程耗电量约1100度，而从质量上偶有外燃内软现象。

若采用喷涂特种配方的碳化硅元件烘烤1032绝缘浸渍漆，究竟用何种配方涂料，如何选用装置容量及如何修正烘烤规范等问题，我们做了一系列的试验、探讨，现简要将其过程和效果介绍如下：

一、选定涂层配方的试验。

曾用具有等离子喷涂的钛铁(TiO_2 90%， Fe_2O_3 10%)、钛锆(TiO_2 80%， ZrO_2 20%)、多元(TiO_2 72%， ZrO_2 20%， MnO_2 、 Co_2O_3 、 Fe_2O_3 、 Cr_2O_3 各2%)及不加涂层的碳化硅“白板”在待制的试验用(长×宽×高=600×500×450mm)内衬石棉板无盖的箱体内，同温度、同时间、同距离等相同条件下，分别利用各种涂层的碳化硅板，对同尺寸试样浸1032绝缘漆后进行烘烤试验。最后经对漆膜进行硬度测试结果，认为钛铁配方对1032漆效果好。

二、匹配装置容量反对定子绕组浸漆后实件烘烤试验。

这次试验系MY65型恒温自动干燥箱内，去掉原电炉丝，内装底置涂层百竖直向上，三块钛铁涂层板，每块板炉丝容量2千瓦，总装置容量6千瓦，外加自动恒温密温装置，在炉膛高2/3

笼子卫放10台电机定子绕组铁芯。

经预烘4小时，浸滴后烘11小时，采用每间隔1小时，用500伏兆欧表测绕组对铁芯绝缘电阻吸收法，监视烘干质量。在这过程中我们还不断开箱门和调节控温装置尽量使炉丝不断电，以保证板面充分发射远红外线。

到第八小时，做了一台绕组端部剖面检查，发现内外干燥一致，效果很好。全程耗电量79度。

根据实测绝缘电阻变化情况绘制了 $M\Omega = f(t)$ 曲线见图2。

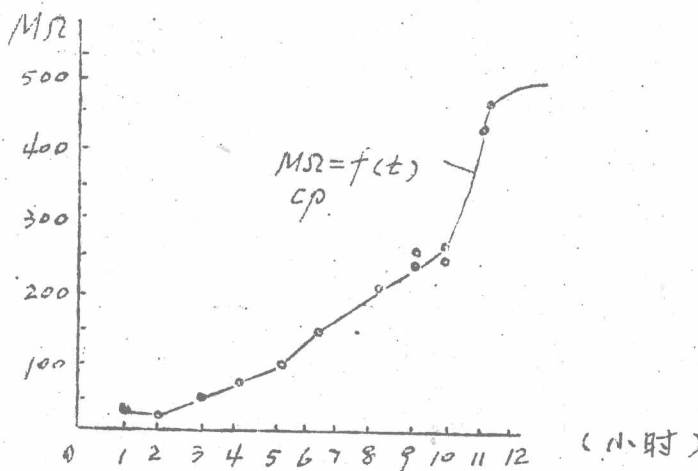


图2 $M\Omega$ - t 曲线

从曲线看，在第八小时出现一段相对稳定区（绝缘电阻变化不大），十小时后又升高，十二小时以后接近绝缘电阻最大值（ $5000 \sim \infty$ ）干燥效果好。

试验结果见表4

从试验结果说明，收效良好，相对该干燥箱的情况，烘烤时间缩短了31.7%，装置容量减少45.4%，耗电量减少67.4%。但在这当中有一个问题，即我们应该使装置容量与炉膛容积在适应烘烤规范要求的前提下（我们保 $135^{\circ}\text{C} \pm 5^{\circ}\text{C}$ ）应正确配使炉丝绝大部分时间保持通电状态，以使远红外线得到充分发射。扭转原来用“温

度”烘烤的概念。

表—4

电热元件	烘 烤 时间(时)	装置容量 (千 瓦)	全程耗电 (度)	质 量	备 注
电炉丝	22	11	242	一 般	其中预烘：4 小时
远红外线	15	6	79	佳	其中预烘：4 小时
效 果	7	5	163	良 好	在远红外充分发射情况下

三、正式投产的装置和运行效果。

在第二步试验基础上，我们将烘干炉，膛内装衬铝板，接三相丫接，每相并接五块铁配方碳化硅板（每块1.5千瓦），总装置容量22.5千瓦（炉膛容积6.5米³）。经试运行，浸漆后烘干时间由原18小时减到10小时，效果较好，经四个多月生产运行较稳定。减容55%，生产效率提高44.5%，综合节电40%以上，烘干炉装置见图4-3所示。

炉身 铝板 与烘件等高板

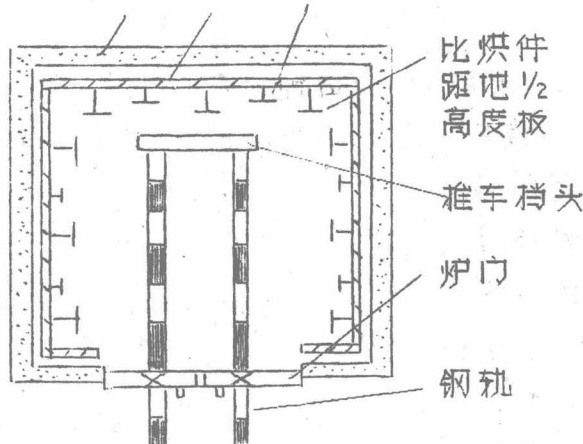


图 3 烘干炉装置图

远红外烘烤铸件砂芯的应用

武汉汽车发动机厂

我厂采用远红外线烘烤铸件砂芯，经过生产实践，取得了较好效果。在我厂铸件砂芯的配比中，I类黄砂100公斤，II类黄砂85公斤，红砂（即南京砂）15公斤，均加桐油2.8公斤，浆糊25公斤，经分析桐油，水在远红外区有很宽的吸收带，见图4。图中数据是武汉材料保护研究所测定的。

从图中可知，桐油和水一样，对远红外线的吸收，显示了很大的敏感性，当砂芯在红外辐射下，其红外线的辐射波长和桐油水的吸收峰值一致时，就大量地吸收红外线。

物质在吸收红外线后，其内卫的分子运动加剧，使砂芯的温度上升，蒸发和干燥砂芯中的水份，随着砂芯温度的继续增加，逐渐桐油氧化并起分子的聚合作用，形成油膜，把砂粒很好地粘结起来以增加砂芯的强度，从而达到干燥的目的，又因远红外的波长较长，而且是分子共振现象加热，砂芯的内卫和外卫都处于均匀的加热状态，同时受热干燥，所以，不仅烘干速度快，并且烘干质量好。

远红外烘炉和红外辐射器

远红外铸件砂芯烘炉的结构，炉体，仍用原烘炉，但为减少红外线辐射能量的损失，在炉膛各面加一层铝板作为反射罩，故其炉膛尺寸比原炉膛各面减小40mm，其有关数据如下：

炉内尺寸：3860×1120×1760mm

电源电压：3相 220 伏。

电 功 率：40.4瓩（实际消耗45瓩）

照射距离：140mm

辐射器：1瓩的10块；0.8瓩的38块。

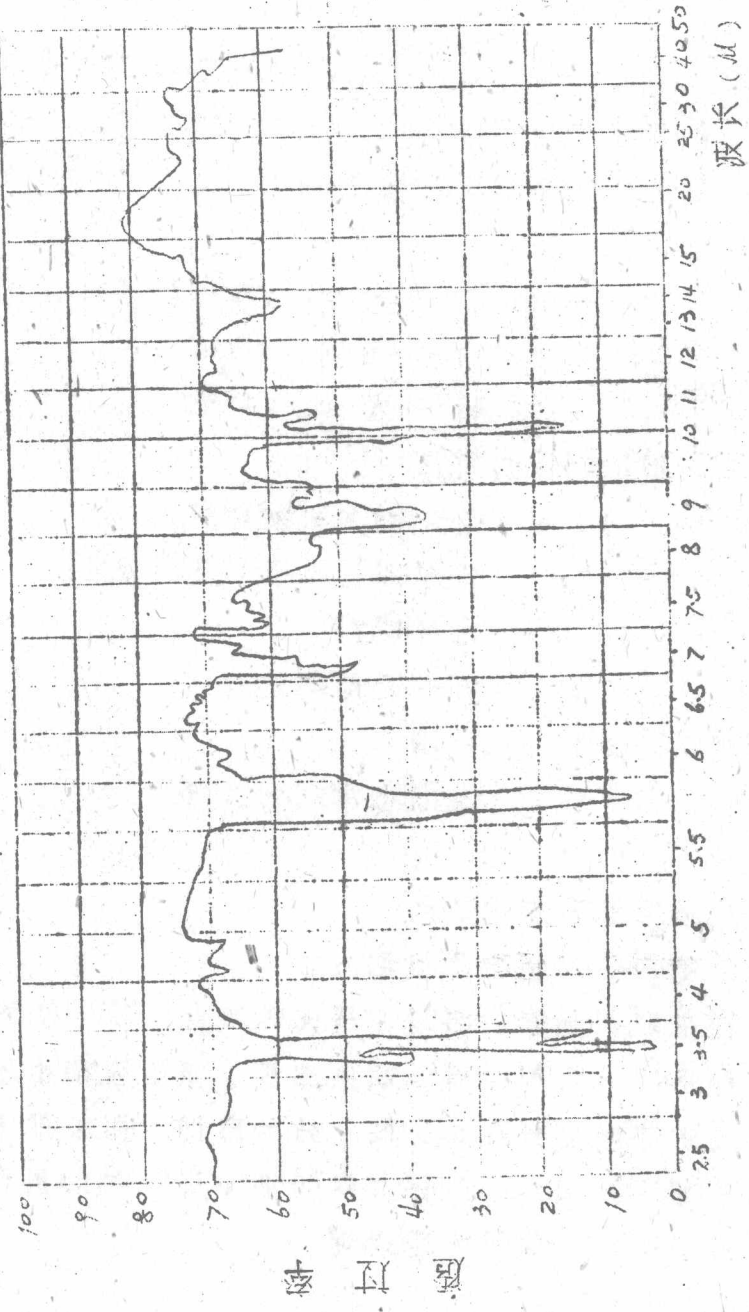


图4 桐油红外吸收光谱

辐射器是砂芯烘炉的核心，它在炉内的排列非常至要，它直接影响到被烘物的效果。经过反复实践，它在炉内的排列如图5所示。

辐射元件是使用武汉轻工耐火材料厂生产的碳化硅远红外辐射板，其每块规格尺寸为 $250 \times 170 \times 12\text{ mm}$ ，板上装有安装电热丝槽，该板的基体及远红外涂层原料及其配方是：

一、基体原料及其配比：

碳化硅	80~180 目	65 %	郑州第二砂轮厂
瓷土	70 目	5 %	苏州
黑泥	70 目	20 %	广东

二、远红外涂层原料及其配比：

ZrO ₂	50 %	洛阳耐火材料研究所
SiO ₂	20 %	北京红星化工厂三级试剂
Cr ₂ O ₃	20 %	化学试剂
Fe ₂ O ₃	10 %	武汉氧化铁厂
广东黑泥	10 %	广东
硅溶胶	1 %	上海化学试剂二分厂
水	80 %	

远红外铸件砂芯烘干炉的效果：

(一) 升温速度快，升温曲线见图6。

图6中曲线是在空炉时测得。曲线1是铸铁壳电热炉，功率50瓦。曲线2是远红外烘炉，功率45瓦。如果曲线1减去起始炉温差45度，则需1小时后才能升到140度。另一方面，在实际生产中，此炉的炉温在常温下开始升温的速度是非常慢的，特别是在冷炉装有砂芯升温烘干时，其升温更是缓慢。

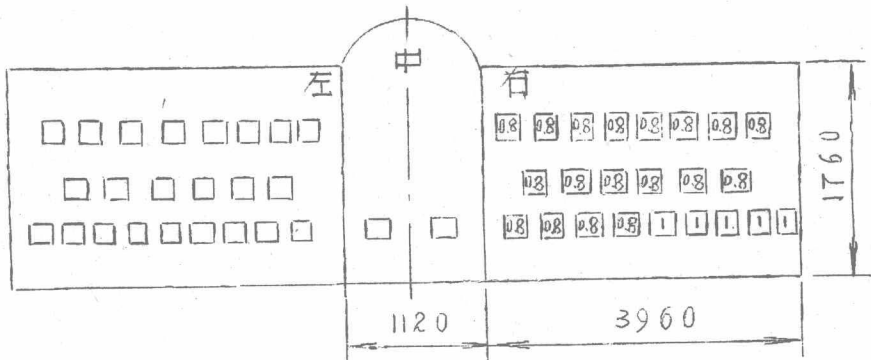


图5 远红外炉膛尺寸及硅板排列图(小方格中
数字表示功率(瓦))

(二) 砂芯烘干质量：

由远红外烘炉烘干的砂芯与铸铁壳电烘炉烘炉烘干的砂芯，均进行了抗拉强度和含水份的测定。为了使测得的数据，能确切地反映生产中的真实情况，因而，将试样分别放入各生产炉中，与工件同时加热干燥，再进行测试，其结果见表5。

表5 抗拉强度测定，强力试验机×5—06

工艺要求干度 抗强度 7-9公斤/厘米 ²	1号铸铁壳电烘炉				远红外烘炉			
	功率 (瓦)	试样烘干 时间(分)	测试结果		功率 (瓦)	试样烘干 时间	测试结果	
			件号	测试值 平均值			件号	测试值 平均值
50	120	1	7.72		45	60分	1	8.8
		2	7.72	7.72			2	8.8 8.6
		3	7.72				3	8.2

含水份的测定，我厂铸件砂芯含水份在5-6%左右，观测试如下。

表 6

炉类	功率 (瓦)	烘芯时间分	湿砂芯重量 (克)	烘干后重量 (克)	除去重量 (克)	备注
2号铸铁壳烘炉	59	165	112.9	106.2	6.7	此件破了二块
			113.7	106.4	7.3	
			114	106.7	7.3	
远红外烘炉	45	135	113.8	106.4	7.4	
			112.3	104.9	7.4	
			113.4	106.1	7.3	

从表 6 中，可以看出铸铁壳电热炉及远红外烘干的砂芯均是合格品，但是由远红外炉烘干的砂芯，在提高砂芯强度和水份的蒸发方面，均有较明显的增强。

(三) 烘芯速度快、节约电力节约时间，见表 7。

从表中得出结论，远红外烘炉比 1 号、2 号铸铁壳电热炉烘 30~60 分钟节电 39~40 %

表 7

试验结果	炉子编号		
	1号炉	2号炉	远红外烘炉
每炉烘芯重量公斤	600~800	600~800	600~800
每炉平均平均功率(千瓦)	50	59	45
每车平均烘芯时间(分)	180	150	120
每车平均耗电量(度)	150	147.5	90

(四) 炉体易于改造，且操作快、造价便宜，我厂改造此炉费用约 800 元，同时还有操作简便、维修工作量少等优点。

采用远红外炉的几点体会：

1、在设计铸件砂芯远红外烘炉时，一定要考虑到炉内温度均匀分布，一般是在炉底下部温度较低处，需要加大辐射器的功率，且减少功率，在温度较高处（指被烘物为固定的）要增大辐射器之间的距离。

2、辐射元件在烘炉内的排列，非常重要，要求它所辐射出的能量应全包围，尽可能地照到被加热物体，它与被加热体的距离越短越好，但也不能太短，太短反而热量分布不均匀，一般距离在150~400mm。

3、远红外线和光一样，在空气中是直线传播，加之我厂铸件砂芯是不动的，大小，厚度相差很大，最大的砂芯尺寸为670×180×70和170×200×200，最小的有一级砂芯，所以有阴影存在，如能采用传送带式的流水烘道效率还可再提高。

4、辐射元件表面温度的控制，也应引起重视。表面温度低，辐射效率降低，表面温度增加，而辐射波长向短波移动，所以一般要求辐射元件表面温度在400~500度，我厂现在采用控制端电压的方式（即控制输入功率来控制辐射器的表面温度）。

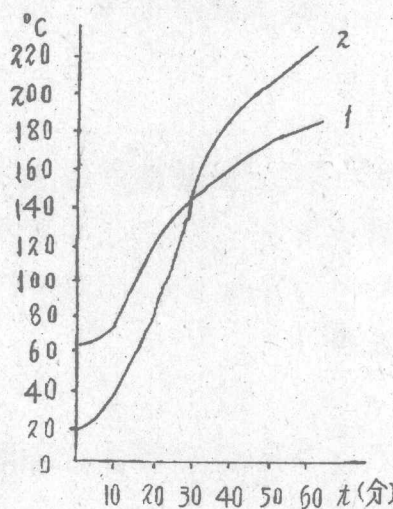


图 6 升温曲线

远红外烘干交換机架漆膜的应用

苏州有炭电厂

我厂是生产HJ905型200门—1200门纵横制自动电话交换机的，产品中有很多部件加工工艺中要用烘房加热干燥，特别是喷漆件烘房干燥，沿用工艺落后，用电量大，对涂有氨基烘漆的交換机架烘干，需在21kW烘房内烘5小时，出箱后漆膜硬度还不合要求，手触反后有手印，影响产品质量。

根据远红外线加热干燥原理，吸取兄弟厂的先进经验，对我厂电烘烘房，作了远红外加热干燥技术改革，在改造烘房的同时改革了工艺，缩短了漆膜干燥时间，取得了良好的效果。

我厂采用的远红外辐射元件规格： $300 \times 180 \times 20\text{ mm}$ 瓦状，碳化硅基板，功率1kW。涂料配方： $\text{Fe}_2\text{O}_3 - 10\%$ ， $\text{ZrO}_2 - 50\%$ ， $\text{Cr}_2\text{O}_3 - 20\%$ ， $\text{SiO}_2 - 20\%$ 。涂层涂制方法：将 Fe_2O_3 、 ZrO_2 、 Cr_2O_3 、 SiO_2 按比例混合研磨，用阿拉伯树胶加苏州白泥调成糊状用刷子涂在碳化硅基板上，放入窑中烧制(1300°C)而成。

烘房结构及几个问题

一、结构：

尺寸： $4000 \times 1500 \times 1800\text{ mm}$ ，房壁及顶部结构，由内向外，铝板、石棉板、保温砖。装1kW瓦状远红外辐射元件20块，Y连接。 $U = 220V$ ， $P = 20\text{ kW}$ ， $I = 33.3A$ 。用EFT型毫伏计，配EU热电偶进行自动温度控制。

二、几个问题：

瓦状加热器辐射面积大，温度均匀适合处理固定零件，热效率高，节电效果好，装配简单。

加玻璃板反射板能减少远红外线损失，提高辐射利用率，我

们把 0.8 mm 铝板装在烘房内壁，烘烤时间从2小时缩短为1.5小时，有一定效果。

辐射元件与被加热部件距离(S)及辐射元件之间的距离(d)， S 越短效率越高，但过短会使热量分布不均匀影响加工件质量，一般 $S = 150 - 400\text{ mm}$ ，我厂用 150 mm 。 d 一般选用 $150 - 250\text{ mm}$ 之间，我厂用 250 mm 。

表-8 远红外烘房与原先电阻板烘房比较

项目	远 红 外 波 烘 房	原烘房
1、干燥目的	HJ905交換机、架及罩壳等零卫件喷漆烘烤硬化	同左
2、涂料	氨基烘漆	同左
3、漆膜硬度	H以上	H以上
4、烘房容积	$4000 \times 1500 \times 1800\text{ mm}$	同左
5、处理方式	固定放置机架 2只及其它零卫件	同左
6、烘烤时间	1.5 小时	5-6小时
7、功 率	20 kW	21 kW
8、耗 电 量	40 度	94度
9、喷漆质量	好	较好

改用后烘房每天可节电130度，每月以25天计，仅此烘房一项可节电3250度。现我厂可改的设备均已改完每月可节电6640度。

远红外在聚酯漆包圆铜线生产上的应用

西安电缆厂

在英明领袖华主席“抓纲治国”战略方针的指引下，在厂党委的正确领导下，我们西安电缆厂电磁线车间广大职工为了早日实现四个现代化，迎头赶上国内外先进水平。以车间党支部为核心，实行领导干部分工、工人、技术人员三结合，学习了西安绝缘材料厂的经验，在机动科、供销科、检查科等有关单位的大力协助下，在QB-180#3机上改装远红外线烘炉，试验烘烤聚酯漆圆铜线，获得初步成功。

从1977年7月起，我们开始依技术准备，包括了解远红外线性能，测试漆的红外吸收光谱，查阅有关的标准红外吸收光谱，用远红外线板烘烤聚酯漆包线的实验室试验，确定试验方案。从1977年11月起，正式投入试验准备工作，从材料准备，元件制作，砌炉、烤炉到1978年2月1日投入正式试验，历时3个月，实现了一次试验成功。由于时间、试验条件限制，工作做得较粗糙，现仅初步试验结果，汇报如下：

一、原 理

远红外线干燥加热技术是七十年代发展起来的一门新技术，在有机物、高分子物质的领域里应用有着广阔前景。一般称波长在5.6~25微米的红外线为远红外线，它不同于红外线灯产生的近红外线，后者波长在1~3微米。

有机物、高分子物质的分子（和基团）总是处于不停顿的热运动状态。各类分子和基团的热运动（包括振动和转动运动）有各自的固定频率范围。远红外线波的频率恰好也在相同的范围之内。当远红外线照射到有机物、高分子物质上时，凡符合分子